

# KAPITTEL 4: LØSNINGER AV 1D TIDSAVHENGIG SL

Løsninga

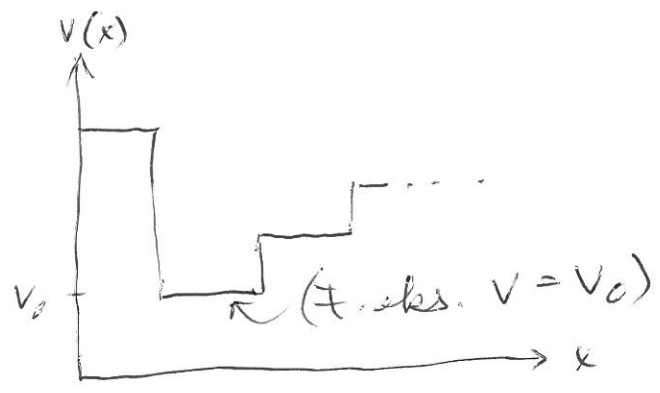
$$\boxed{-\frac{\hbar^2}{2m} \frac{d^2 \psi}{dx^2} + V(x) \psi = E \psi} \quad (4.1)$$

har anvendelse f. eks. i elektronrør og halvleder-  
heterostruktur.

Vi skal se på både bundne og ubundne løsninger,  
samt også innfallende partikler som vil reflekteres fra  
eller trenge gjennom potensialvegger.  
Det sistnevnte er tunnelleffekten.

## 4.1 Ubundne tilstander, spredning og tunnelling

Betrakt her stykkevis konstante potensialer:



vi kan ha

$$-\frac{\hbar^2}{2m} \frac{d^2 \psi}{dx^2} + V_0 \psi = E \psi$$

eller:

$$\boxed{\frac{d^2 \psi}{dx^2} + \frac{2m(E - V_0)}{\hbar^2} \psi = 0} \quad (4.2)$$

hvis

$$\frac{d^2 y}{dx^2} + A y = 0 \quad (4.3)$$

så

$$y = C e^{mx}$$

$$\frac{d^2 y}{dx^2} = C m^2 e^{mx}$$

$$m^2 C e^{mx} + A C e^{mx} = 0 \Rightarrow m = \pm \sqrt{-A}$$

Generell løsning:

$$\boxed{y = C_1 e^{\sqrt{-A} x} + C_2 e^{-\sqrt{-A} x}} \quad (4.4)$$

hvis  $A < 0$ , sum av positive og negative  
eksponensialfunksjoner.

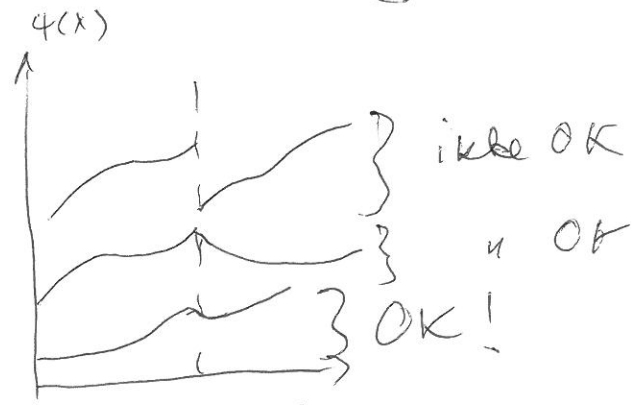
Men hvis  $A > 0$ :

$$\boxed{y = C_1 e^{i\sqrt{A} x} + C_2 e^{-i\sqrt{A} x}} \quad (4.5)$$

$$= D_1 \cos(\sqrt{A} x) + D_2 \sin(\sqrt{A} x) \quad (4.6)$$

Disse stykkevis konstante potensialer:

Både  $\psi$  og  $\frac{d\psi}{dx}$  må være kontinuerlige



Merk at den generelle løsningen i  $V=0$  - tilfellet er en sum av bølger i alle retninger!

$$\psi = C_1 e^{ikx} + C_2 e^{-ikx}$$

$$= C_1 e^{i(\sqrt{2mE}/\hbar)x} + C_2 e^{-i(\sqrt{2mE}/\hbar)x} \quad (A = \frac{\sqrt{2mE}}{\hbar})$$

$$\Psi(x,t) = \psi(x) e^{-iEt/\hbar}$$

$$= C_1 e^{i(kx - \omega t)} + C_2 e^{i(-kx - \omega t)}$$

høyre-løpende
venstre-løpende

se løsning (3.30)

De to bidragene er hver for seg impuls egenfunksjoner men summen ( $C_1 \neq 0 \wedge C_2 \neq 0$ ) er ikke det!

(Se oppgave 4.2)

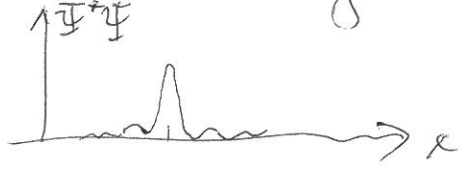
Hva med posisjonen?  
Betrakt høyre-løpende:

$$\Psi(x,t) = C_1 e^{i(kx - \omega t)}$$

$$\Psi^* \Psi = C_1^* C_1 \quad \text{posisjonsuavhengig!}$$

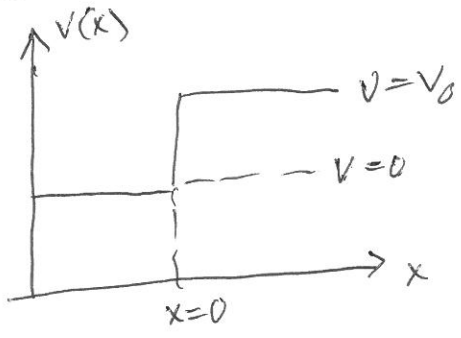
Samme sjanse til å finne partikkelen overalt i rommet!!

Uprobsis, en partikkel vil bli representert ved en sum av alle bølger mellom  $k=0$  og  $k=k_0$  (Fourier) og man får en ølgepakett.



# Spredning fra trinpotensial

Betrakt dette: (Partikkel inn fra venstre)



Ydeliser:  
La  $\psi$  ene være egenfunksjoner for impuls.

Klassisk: (E inkomme energi)

$$E > V_0 \Rightarrow$$

$$p_1 = \sqrt{2mE}$$

$$p_2 = \sqrt{2m(E - V_0)}$$

Kvantemekaniske bølger:

$$k_1 = \frac{p_1}{\hbar} = \sqrt{2mE}/\hbar$$

$$k_2 = \frac{p_2}{\hbar} = \sqrt{2m(E - V_0)}/\hbar$$

## Tilfellet $E > V_0$

Her har vi

$$\frac{d^2\psi}{dx^2} + \frac{2mE}{\hbar^2} \psi = 0 \quad (x < 0) \Rightarrow \psi_1(x) = A_1 e^{ik_1 x} + B_1 e^{-ik_1 x} \quad \begin{matrix} (4.10) \\ (4.12) \end{matrix}$$

$$\frac{d^2\psi}{dx^2} + \frac{2m(E - V_0)}{\hbar^2} \psi = 0 \quad (x > 0) \Rightarrow \psi_2(x) = A_2 e^{ik_2 x} + B_2 e^{-ik_2 x} \quad \begin{matrix} (4.11) \\ (4.13) \end{matrix}$$

For å få full bølgefunksjon i  
mult med  $e^{-iEt/\hbar}$  (som vi har sett)

da kan

$$\underline{B_2 = 0}$$

siden ingen venstrelopende bølge til høyre for spangot!

$$\psi_1(0) = \psi_2(0) \Rightarrow A_1 + B_1 = A_2 \quad (4.17)$$

$$\frac{d\psi_1(0)}{dx} = \frac{d\psi_2(0)}{dx} \Rightarrow ik_1 A_1 - ik_1 B_1 = ik_2 A_2 \quad (4.18)$$

So løsninger, tre uløste:

$$A_1 = \frac{1}{2} A_2 \left( 1 + \frac{k_2}{k_1} \right) \quad (4.19)$$

$$B_1 = \frac{1}{2} A_2 \left( 1 - \frac{k_2}{k_1} \right) \quad (4.20)$$

Og full løsning:

$$\psi_1(x) = \frac{1}{2}A_2\left(1 + \frac{k_2}{k_1}\right)e^{ik_1x} + \frac{1}{2}A_2\left(1 - \frac{k_2}{k_1}\right)e^{-ik_1x}, x < 0$$

$$\psi_2(x) = A_2e^{ik_2x}$$

Refleksjons- og transmissionskoeffisienter:

$$R = \frac{(\text{refl. amp})^2}{(\text{ink. amp})^2} = \frac{B_1^* B_1}{A_1^* A_1}$$

$$T = \frac{(\text{transm. amp})^2}{(\text{ink. amp})^2} = \frac{A_2^* A_2}{A_1^* A_1}$$

Det gir

$$R = \frac{(k_1 - k_2)^2}{(k_1 + k_2)^2}$$

(4.22)

$$T = 1 - R = 1 - \frac{(k_1 - k_2)^2}{(k_1 + k_2)^2}$$

eller:

$$R = \left(\frac{\sqrt{E'} - \sqrt{E - V_0}}{\sqrt{E'} + \sqrt{E - V_0}}\right)^2$$

Brudd med klassisk fysikk!

En ikke-forsvinnende sannsynlighet for at partikkelen ikke passerer gjennom, men blir spredd bakover!

Hvis  $E = 2V_0$  så  $R = 0.17$ ; hvorfor blir ikke sikt observert klassisk?

- Stille sprang jumer iled over en endelig bygd; så lenge de Bragg-bølgelegden er mye mindre, er vi i det klassiske området, der beregninga foran er ugyldig.

### Eksempel 4.1

Når er trimpunktionspotensialet i ~~det klassiske~~ kvante-regimet?

Anta elektron, akselerert over 100 V :

$$E = e\phi$$

$$= 1.6 \times 10^{-19} \times 10 \text{ C} \times \text{V}$$

$$= 1.6 \times 10^{-17} \text{ J}$$

$$\lambda = \frac{h\nu}{p} = \frac{h}{\sqrt{2mE}}$$

$$= \frac{6.6 \times 10^{-34}}{\sqrt{2 \times 9.1 \times 10^{-31} \times 1.6 \times 10^{-17}}} \text{ m} = \frac{1.2 \times 10^{-10} \text{ m}}{\text{(omtrent en atomradius)}}$$

Trimpbedden må være mye større enn dette for at man skal være helt og holdent i det klassiske regimet.

praksis: Kvanteeffekter i trimpotensialer ser man bare på atom- og kjernemåler.

### Tilfellet $E < V_0$

Omtrent identiske regnetrim, som vi tar summarisk: vi setter

$$k_1 = \frac{\sqrt{2mE}}{\hbar} \quad (\text{som før})$$

$$k_2 = \frac{\sqrt{2m(V_0 - E)}}{\hbar} \quad (\text{annen rekkefølge})$$

Løsningen for  $x \geq 0$  blir forskjellig:

$$\psi_1(x) = A_1 e^{ik_1 x} + B_1 e^{-ik_1 x} \quad (x < 0)$$

$$\psi_2(x) = A_2 e^{k_2 x} + B_2 e^{-k_2 x} \quad (x \geq 0) \quad (\text{ombyttet rekkefølge})$$

Vi ha

$$A_2 = 0$$

så ikke løsninga "eksploderer" for  $x \rightarrow \infty$ .

$$\psi_1(0) = \psi_2(0) \Rightarrow A_1 + B_1 = B_2$$

$$\frac{d\psi_1(0)}{dx} = \frac{d\psi_2(0)}{dx} \Rightarrow ik_1 A_1 - ik_1 B_1 = -k_2 B_2$$

ifs og ja:

$$A_1 = \frac{1}{2} B_2 \left(1 + i \frac{k_2}{k_1}\right)$$

$$B_1 = \frac{1}{2} B_2 \left(1 - i \frac{k_2}{k_1}\right)$$

Full løsning altid

$$\begin{aligned} \psi_1(x) &= \frac{1}{2} B_2 \left(1 + i \frac{k_2}{k_1}\right) e^{i k_1 x} + \frac{1}{2} B_2 \left(1 - i \frac{k_2}{k_1}\right) e^{-i k_1 x}, & x < 0 \\ \psi_2(x) &= B_2 e^{-k_2 x}, & x \geq 0 \end{aligned}$$

Refleksjons sannsynlighet:

$$R = \frac{B_1 + B_1}{A_1 + A_1} = \frac{\left(\frac{1}{2} B_2\right)^2 \left(1 + i \frac{k_2}{k_1}\right) \left(1 - i \frac{k_2}{k_1}\right)}{\left(\frac{1}{2} B_2\right)^2 \left(1 - i \frac{k_2}{k_1}\right) \left(1 + i \frac{k_2}{k_1}\right)}$$

$$= 1$$

$$T = 1 - R = 0$$

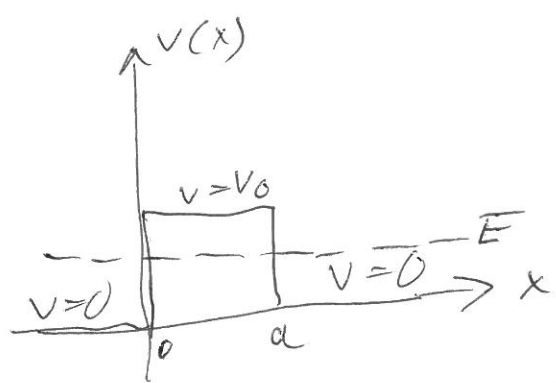
Alltid refleksjon - resultat i overensstemmelse med det klassiske.

Men  $\psi_2 \neq 0$  for  $x > 0$ ; å finne partikkelens sannsynligheten for å finne partikkelen i det klassiske forbudte området er til stede!

Dette kan ha virkelige konsekvenser på atom- og ~~for~~ atomkjernestruktur.  
→ grensen av "x" høy barrierer ( $V_0 \gg E$ ) går  $k_2 \rightarrow \infty$ ,  
og  $\psi_2(x) \rightarrow 0$  for gitt  $x > 0$ .

# Tunnel-effekten

hva hvis steppen har en endelig bredde? ~~og~~



Forvent oscillerende oppførsel for  $x < 0$  og  $x > a$ , men eksponentiell unnt.

Som før ( $V_0 > E$ ):

$$\psi_1(x) = A_1 e^{ik_1 x} + B_1 e^{-ik_1 x} \quad (x < 0)$$

$$\psi_2(x) = A_2 e^{k_2 x} + B_2 e^{-k_2 x} \quad (0 \leq x < a)$$

$$k_1 = \frac{\sqrt{2mE}}{\hbar}$$

$$k_2 = \frac{\sqrt{2m(V_0 - E)}}{\hbar}$$

mens

$$\psi_3(x) = B_3 e^{ik_1 x} \quad (x \geq a)$$

Nå, 2 par grensebetingelser:

$$\psi_1(0) = \psi_2(0) \quad (4.23)$$

$$\frac{d\psi_1(0)}{dx} = \frac{d\psi_2(0)}{dx} \quad (4.24)$$

$$\psi_2(a) = \psi_3(a) \quad (4.25)$$

$$\frac{d\psi_2(a)}{dx} = \frac{d\psi_3(a)}{dx} \quad (4.26)$$

Det gir først

$$A_1 + B_1 = A_2 + B_2$$

$$ik_1 A_1 - ik_1 B_1 = k_2 A_2 - k_2 B_2$$

$$A_2 e^{k_2 a} + B_2 e^{-k_2 a} = B_3 e^{ik_1 a}$$

$$k_2 A_2 e^{k_2 a} - k_2 B_2 e^{-k_2 a} = ik_1 B_3 e^{ik_1 a}$$

4 likninger med 5 ukjente.

Transmisjons sannsynlighet:

$$T = \frac{B_3^* B_3}{A_1^* A_1}$$

Løse koka beregner det for oss:

$$T = \frac{1}{1 + \left(\frac{V_0^2}{4E(V_0 - E)}\right) \sinh^2(k_2 a)} \quad (4.27)$$

En partikkel kan "tunnelere" gjennom barrieren også, for  $E < V_0$  og komme ut på den andre sida!

Klassisk regime:  $k_2 a \gg 1$  og  $T \rightarrow 0$ .

Eksempel 4.2

Baseball mot vegg,  $m = 0.14 \text{ kg}$ ,  $v = 1.0 \text{ m/s}$ ,  $a = 0.2 \text{ m}$

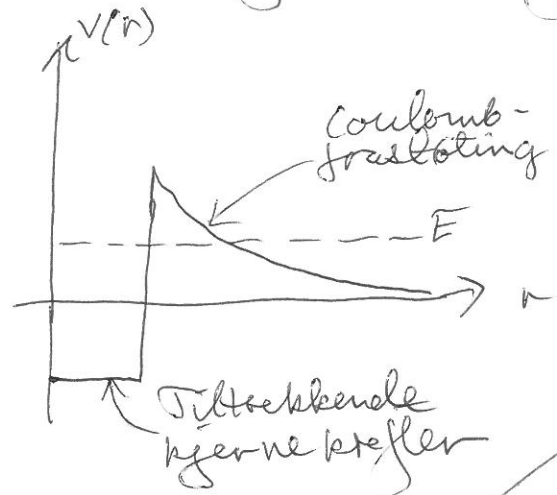
$$k_2 = \frac{p}{\hbar} = \frac{0.14 \times 1.0}{1.05 \times 10^{-34}} \text{ m}^{-1} = 1.3 \times 10^{33} \text{ m}^{-1}$$

$$k_2 a = 2.6 \times 10^{32}$$

$$\sin^2(k_2 a) \approx e^{2k_2 a} \approx e^{5.2 \times 10^{32}} \approx 10^{(10^{32})}$$

$$T \approx 10^{-10^{32}} \quad (> 0!)$$

Tunnel-effekter ser man på atomkjerneskala, f. eks. for  $\alpha$ -henfall av  $U^{238}$



$$\tau(U^{238}) = 6.5 \times 10^9 \text{ år}$$

(halve universets alder)

Årmen anvendelse: Tunnel dioder



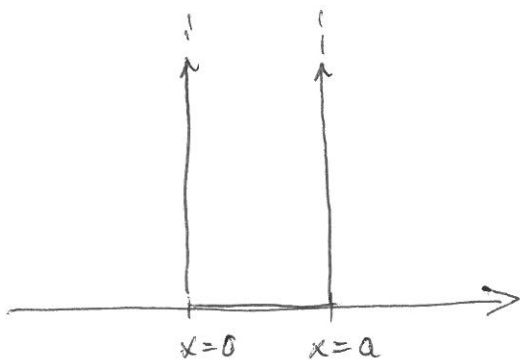
### 4.3 Bundne systemer

To eksempler i 1D:

- Uendelig dyb firkantkassen (partikkel i boks) - enklest
- Harmonisk oscillator

Forberedelse for 3D systemer i kapittel 6!

#### Partikkel i boks



$$V(x) = 0, \quad 0 \leq x \leq a$$

$$V(x) = \infty, \quad x < 0 \text{ eller } x > a$$

God approksimasjon for alle systemer med potensialbarrierer hvor  $V \gg E$

Tidsuavhengig SL:

$$\frac{d^2 \psi}{dx^2} + \frac{2mE}{\hbar^2} \psi = 0 \tag{4.28}$$

Trigonometrisk form mer hensiktsmessig enn kompleks eksponentialfunksjon:

$$\psi(x) = C_1 \cos\left(\frac{\sqrt{2mE}}{\hbar} x\right) + C_2 \sin\left(\frac{\sqrt{2mE}}{\hbar} x\right)$$

venstre grensebetingelse:

$$\psi(0) = C_1 \cos(0) + C_2 \sin(0) = C_1 = 0$$

$$\Rightarrow \psi(x) = C_2 \sin\left(\frac{\sqrt{2mE}}{\hbar} x\right) \tag{4.29}$$

høyre grensebetingelse:

$$\psi(a) = 0 \Rightarrow \frac{\sqrt{2mE}}{\hbar} a = n\pi, \quad n = 1, 2, 3, \dots \tag{4.31}$$

$$E_n = \frac{\hbar^2 \pi^2}{2ma^2} n^2, \quad n = 1, 2, 3, \dots \tag{4.32}$$

$n=1$ , laveste energi:

$$E_1 = \frac{\hbar^2 \pi^2}{2ma^2} \text{ nullpunktseenergi} \tag{4.33}$$

Ansætning og normalisering av bølgefunktion:

$$\psi_n = C_2 \sin \frac{n\pi x}{a}$$

$$\int_0^a \psi_n^*(x) \psi_n(x) dx = |C_2|^2 \int_0^a \sin^2 \frac{n\pi x}{a} dx \quad (\frac{n\pi x}{a} = y, dx = \frac{a}{n\pi} dy)$$

$$= |C_2|^2 \frac{a}{n\pi} \int_0^{n\pi} \sin^2 y dy$$

$$= |C_2|^2 \frac{a}{\pi} \underbrace{\int_0^{\pi} \sin^2 y dy}_{= \frac{\pi}{2}}$$

$$= 1 \quad (\text{se tidligere resultat})$$

Velg  $C_2$  reell og positiv:

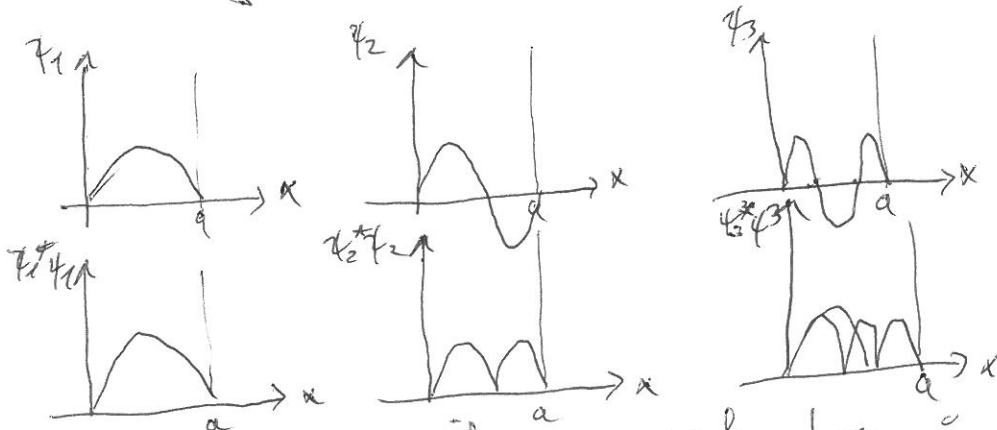
$$\psi_n(x) = \sqrt{\frac{2}{a}} \sin\left(\frac{n\pi x}{a}\right), \quad 0 \leq x \leq a$$

$$\psi_n = 0, \quad x < 0 \text{ eller } x > a$$

$$E_n = \frac{\hbar^2 \pi^2}{2ma^2} n^2$$

$$n = 1, 2, 3, \dots$$

$\psi_n$  er {symmetrisk / antisymmetrisk} for {lige / oddetall}  $n$ -verdier



grensens  $n \rightarrow \infty$ , uniform ssh. for  $a$  finne partikkelen et hvilket som helst sted i boksen, hvis  $V < \infty$  (dvs. regninga approksimativ):  
 et endelig # kinde abstander, max-verdi for  $n$  (Analogi til stående bølger i orgelpipe)

Realisering:  
 tynt halvlederlag mellom to tykkere lag av annen halvleder.  
 Hvis i 3D: quantum dot ("krantedott"?)

# Harmonisk oscillator - potensial

Liksom funnet i oppgave 3.1:

$$V(x) = \frac{1}{2} K x^2 \tag{4.34}$$

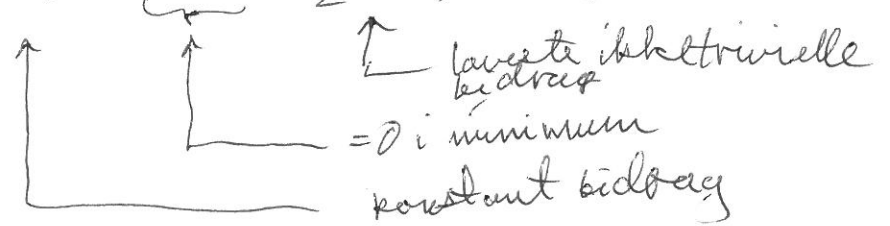
Tilsvarende i klassisk mekanikk, masse fastgjort til fjær:

$$\begin{aligned}
 F(x) &= -Kx \\
 m \frac{d^2 x}{dt^2} &= -K(x) \\
 x &= A \cos(\omega t) \\
 v &= -A \omega \sin(\omega t)
 \end{aligned}
 \left. \vphantom{\begin{aligned} F(x) \\ m \frac{d^2 x}{dt^2} \\ x \\ v \end{aligned}} \right\} \omega = \sqrt{\frac{K}{m}}$$

$$\begin{aligned}
 E &= \frac{1}{2} m v^2 + \frac{1}{2} K x^2 \\
 &= \frac{1}{2} m A^2 \omega^2 \sin^2(\omega t) + \frac{1}{2} K A^2 \cos^2(\omega t) \\
 &= \frac{1}{2} K A^2
 \end{aligned}
 \tag{4.35}$$

Uansett et potensial av kvantemekanisk interesse? For vilkårlig potensial, minimum flyttet til  $x=0$ :

$$V(x) = V(0) + V'(0)x + \frac{1}{2}V''(0)x^2 + \frac{1}{6}V'''x^3 + \dots$$



For små  $x$ , viktigste bidrag er

$$V(x) = \frac{1}{2} V''(x)$$

- brukes ofte for å approksimere ionebvegebeer i krysfallgitter

Vi skal nå løse tidsuavhengig SL, som vi først skal løse:

$$-\frac{\hbar^2}{2m} \frac{d^2 \psi}{dx^2} + \frac{1}{2} K x^2 \psi = E \psi \tag{4.36}$$

$$s = \frac{(Km)^{1/4}}{\hbar^{1/2}} x \quad (\text{sml. oppgave 3.1})$$

$$\lambda = \frac{2}{\hbar} \sqrt{\frac{m}{K}} E \tag{4.37}$$

$$\frac{d^2 \psi}{dx^2} + (\lambda - s^2) \psi = 0 \tag{4.38}$$

De dimensjonsløse  $s$  og  $\lambda$  har ingen fysisk betydning ut over å forenkle problemet.

Se først på grensetilfellet  $s^2 \gg \lambda$  ;

~~Oppgave~~  $\frac{d^2 y}{dx^2} - s^2 y = 0$  (4.39)

Prøv tilnærmet løsning, gyldig for store s :

$$y = A e^{s^2/2} + B e^{-s^2/2}$$

$$\frac{d^2 y}{dx^2} = A(1+s^2)e^{s^2/2} - B(1-s^2)e^{-s^2/2} \approx A s^2 e^{s^2/2} + B s^2 e^{-s^2/2} \text{ (for } s \gg 1)$$

Må ha A=0, ellers er løsningen ikke normaliserbar!

Prøv derfor å se på løsning av formen

$$v(s) = f(s) e^{-s^2/2} \text{ (4.41)}$$

$$\frac{dv}{ds} = f'(s) e^{-s^2/2} - f(s) s e^{-s^2/2}$$

$$\frac{d^2 v}{ds^2} = \{f''(s) - 2f'(s)s + f(s)s^2\} e^{-s^2/2} \left( \frac{1}{e^{-s^2/2}} f(s) e^{-s^2/2} \right)$$

Ansatt og forkortet :

$\frac{d^2 f}{ds^2} - 2s \frac{df}{ds} + (\lambda - 1)f = 0$

 (4.42)

Utvikling i potensrække prøver :

$$f(s) = \sum_{n=0}^{\infty} a_n s^n \text{ (4.43)}$$

$$f'(s) = \sum_{n=1}^{\infty} n a_n s^{n-1}$$

$$f''(s) = \sum_{n=2}^{\infty} n(n-1) a_n s^{n-2} = \sum_{m=0}^{\infty} (m+2)(m+1) a_{m+2} s^m$$

*(Opps) (Opps) (Opps)*

*Can attempt to change the summation variable!*

Ansatt :

$$\sum_{n=0}^{\infty} (n+2)(n+1) a_{n+2} s^n + (\lambda - 2n - 1) \sum_{n=0}^{\infty} a_n s^n = 0$$

Dette må stemme potens for potens i s. Det gir følgende rekursjonsrelasjon :

$$a_{n+2} = \frac{2n+1-\lambda}{(n+2)(n+1)} a_n \text{ (4.44)}$$

Hvis  $a_0$  og  $a_1$  er kjent, kan alle de andre finnes!

så kommer en matematisk lørdow:

Hvis  $f(s)$  er et endelig polynom, så vil eksponential-faktoren  $e^{-s^2/2}$  dominere over  $f(s)$ . For store  $s$ , mens et uendelig polynom vil dominere for store  $s$ .

Summen i  $f(s)$  må derfor ha et endelig # ledd.  $\lambda$  må være et heltall!

**KVANTISERING!**

Å fastlegge  $\lambda$  tilsvarende å fastlegge  $E_n$ .

Betrakt

$$\lambda = 2n + 1 \tag{4.45}$$

Det gir  $n$ -verdien hvor  $a_{n+2} = 0$ . Hvis  $n$  er et like tall, så er det ingen relasjon som kan fastlegge  $a_{n+3} = 0$ . Og tilsvarende for odde  $n$ .

Attså:

Den endelige summen i  $f(s)$  må inkludere enten bare ~~like~~ like eller bare ulike potenser av  $s$ , der høyeste potens som gir  $a_{2n+1} \neq 0$  bestemmes av  $\lambda$ .

Det gir løsningene (Hermite-polynomene):

$n=0, \psi_0(s) = C_0 e^{-s^2/2}$	(4.46)
$n=1, \psi_1(s) = C_1 (2s) e^{-s^2/2}$	(4.47)
$n=2, \psi_2(s) = C_2 (4s^2 - 2) e^{-s^2/2}$	(4.48)
⋮	

med tilsvarende normalisering:

$$C_n = \frac{1}{\pi^{1/4} \sqrt{2^n n!}}$$

(4.37) og (4.45) gir energivålene:

$$2n + 1 = \lambda = \frac{2}{\hbar} \sqrt{\frac{m}{k}} E$$

Med  $\omega = \sqrt{k/m}$  (klassisk harmonisk oscillator):

$$E_n = (n + \frac{1}{2}) \hbar \omega \quad (n=0, 1, 2, \dots) \tag{4.51}$$

Merke:

Uttrykkene for  $\psi_n(x)$  er det en konvensjon at  $\psi_n$ 's høyeste potens er  $\propto 2^n$ .  
Det avspeiler seg i uttrykkene for  $C_n$ .

Harmonisk oscillator har en nullpunktenergi:

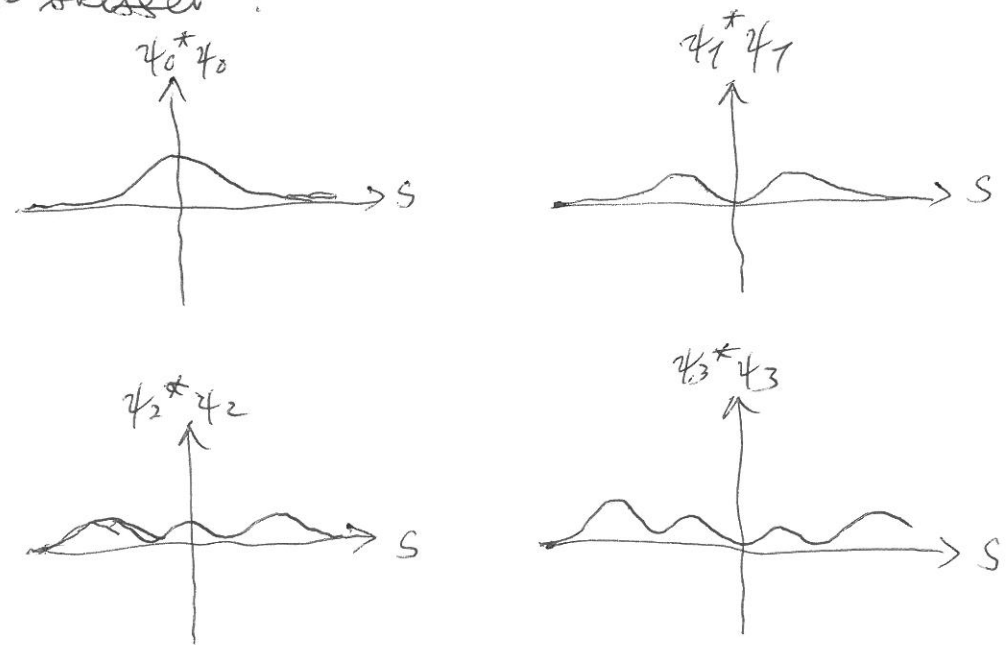
$$E_0 = \frac{1}{2} \hbar \omega$$

Sml. klassisk harmonisk oscillator:

Polynomene i  $\psi_n$  for harmonisk oscillator kalles Hermite-polynommer.

$\psi_n \neq 0$  også i det klassisk forbudte området  $V > E$ .

Beh-skisser:



Klassisk:

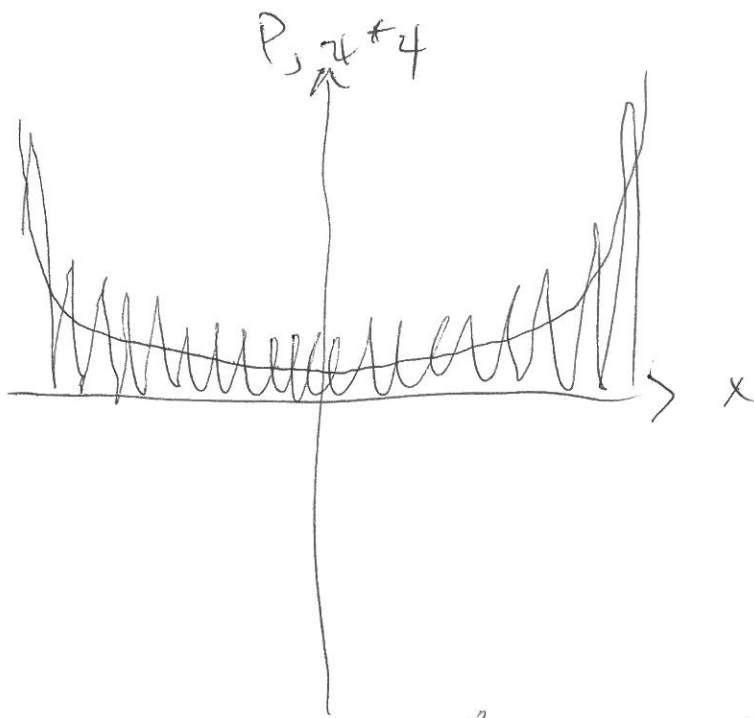
$$-\sqrt{\frac{2E}{K}} < x < \sqrt{\frac{2E}{K}}$$

(størst hastighet midt i)

$$v = \sqrt{(2E - Kx^2)/m}$$

Pos. siden  $dt = \frac{dx}{v}$ :  $P \propto \sqrt{\frac{m}{2E - Kx^2}} dx$

End. QM ssk. for  $n=50$ :



as grensen  $n \rightarrow \infty$  vil QM ssk. nærme seg til det klassiske resultatet.

Eksempel på Korrespondanseprinsippet.

Anvendelse av QM HO:

F. eks. vibrasjoner i diatomiske molekyler, som blir godt beskrevet.

Samt skallmodellen for atomkjerner, og tilsvarende for kvarkmodell for baryoner og mesoner.